

01;03

# О структуре течения, связанного с капиллярно-гравитационной волной в заряженном слое вязкой электропроводной жидкости на твердом дне

© А.И. Григорьев, Д.М. Пожарицкий, С.О. Ширяева

Ярославский государственный университет им. П.Г. Демидова,  
150000 Ярославль, Россия  
e-mail: grig@uniyar.ac.ru

(Поступило в Редакцию 20 февраля 2008 г.)

Найденные аналитические решения задачи об исследовании временной эволюции капиллярно-гравитационной волны в заряженном слое вязкой электропроводной жидкости на твердом дне. Показано, что вихревая компонента движения жидкости, связанного с волной, возникает не только вблизи свободной поверхности жидкости, но и у твердого дна. Отношение амплитуд вихревой компоненты поля скоростей у свободной поверхности и у твердого дна зависит от соотношения между толщиной слоя жидкости и длиной волны. Когда длина волны много больше толщины слоя жидкости, амплитуда вихревого движения возле дна превышает амплитуду вихревого движения у свободной поверхности жидкости, а вихревое движение заполняет весь объем жидкости.

PACS: 47.10.-g

## Введение

Изучение физических закономерностей реализации капиллярно-гравитационного волнового движения на заряженной поверхности вязкой электропроводной жидкости конечной толщины представляет значительный интерес в связи с многочисленными техническими и технологическими приложениями (см., например, [1–4] и цитируемую там литературу).

В [5–8] на уровне вывода и анализа дисперсионного уравнения для капиллярно-гравитационных волн на заряженной свободной поверхности слоя вязкой жидкости конечной толщины в различных физических ситуациях изучено влияние жидкости и толщины слоя на закономерности развития неустойчивости свободной поверхности по отношению к поверхностному заряду. Основным результатом этих работ состоит в выявлении факта зависимости от вязкой диссипации и конечности толщины слоя величины инкремента развития неустойчивости на начальной стадии ее реализации и отсутствия влияния этих факторов на критические условия реализации неустойчивости.

Большая часть нелинейных исследований волнового движения на однородно заряженной поверхности слоя вязкой жидкости выполнена в приближении „мелкой воды“, когда малым параметрам задачи является отношение толщины слоя к длине волны (см., например, [8–10]). Подобное упрощение не всегда обосновано [1,3,11], и к тому же заметная часть таких работ сводится к выводу нелинейных уравнений, имеющих солитонные решения [8,9]. Только в последние годы появились работы [12,13], в которых влияние вязкости на нелинейное периодическое капиллярно-гравитационное волновое движение на свободной поверхности вязкой

жидкости асимптотически корректно исследуется на основе полного уравнения Навье–Стокса, в том числе и в заряженном слое вязкой электропроводной жидкости конечной толщины [4,14,15]. Тем не менее вопрос о структуре течений (о закономерностях распределения по толщине слоя вихревой и потенциальной компонент поля скоростей), связанных с периодическим волновым движением в заряженном слое вязкой электропроводной жидкости конечной толщины, в упомянутых работах практически не затронут. Устранению этого пробела должна послужить настоящая работа.

## 1. Формулировка задачи

Будем решать задачу о временной эволюции капиллярно-гравитационных волн плоской однородно заряженной, с плотностью заряда  $\sigma$ , свободной поверхности вязкой несжимаемой идеально проводящей жидкости конечной глубины  $d$ . Примем, что жидкость характеризуется плотностью  $\rho$ , коэффициентом кинематической вязкости  $\nu$ , коэффициентом поверхностного натяжения  $\gamma$  и находится в поле тяжести  $g$  и в электростатическом поле напряженностью  $F_0 \equiv 4\pi\sigma$ , перпендикулярном свободной поверхности жидкости. Потенциал электрического поля  $\Phi_0(z)$  над невозмущенной поверхностью жидкости имеет вид  $\Phi_0(z) = -4\pi\sigma z$ .

Все рассмотрение проведем в прямолинейной декартовой системе координат, плоскость  $z = 0$  которой совпадает с невозмущенной свободной поверхностью жидкости так, что ось  $z$  ориентирована противоположно направлению поля силы тяжести  $\mathbf{n}_z \parallel -\mathbf{g}$  ( $\mathbf{n}_z$  — орт оси координаты  $z$ ), а ось  $x$  — по направлению движения плоской капиллярно-гравитационной волны

$\sim \exp(st - ikx)$ , здесь  $s$  — комплексная частота,  $k$  — волновое число,  $t$  — время,  $i$  — мнимая единица.

Пусть функция  $\xi(x, t) = \xi_0 \exp(ikx)$  описывает виртуальную начальную деформацию плоской равновесной в поле сил тяжести поверхности жидкости, где  $\xi_0$  много меньше длины волны и капиллярной постоянной жидкости  $\alpha \equiv \sqrt{\gamma/\rho g}$ . Примем также, что амплитуда  $\mathbf{U}(\mathbf{r}, t)$  — поля скоростей течения жидкости, вызванного волной  $\xi(x, t)$ , — в безразмерных переменных, в которых  $\rho = g = \gamma = 1$ , имеет тот же порядок малости, что и  $\xi(x, t)$ .

Система уравнений электрогидродинамики вязкой жидкости, описывающая движение жидкости в анализируемой системе, имеет вид

$$\frac{d\mathbf{U}}{dt} = -\nabla P(\mathbf{r}, t) + \nu \Delta \mathbf{U} - \nabla \mathbf{z}; \quad \nabla \cdot \mathbf{U} = 0; \quad \Delta \Phi = 0;$$

$$z = \xi: \quad \Phi = \text{const}, \quad \frac{dF}{dt} = 0, \quad F(x, z, t) \equiv z - \xi(x, t),$$

$$\mathbf{n}(\boldsymbol{\tau} \cdot \nabla) \mathbf{U} + \boldsymbol{\tau} \cdot (\mathbf{n} \cdot \nabla) \mathbf{U} = 0,$$

$$-P(\mathbf{r}, t) + 2\nu \cdot \mathbf{n}(\mathbf{n} \cdot \nabla) \mathbf{U} - P_E(\mathbf{r}, t) + P_\gamma(\mathbf{r}, t) = 0,$$

$$z = -d: \quad \mathbf{U} = 0; \quad z \rightarrow \infty; \quad -\nabla \Phi \rightarrow E_0 \mathbf{e}_z.$$

$$t = 0: \quad \xi(x, t) = \xi_0 \exp(ikx).$$

В выписанных выражениях  $\boldsymbol{\tau}$  и  $\mathbf{n}$  — орты касательной и нормали к свободной поверхности жидкости  $P(\mathbf{r}, t)$  и  $\Phi(\mathbf{r}, t) \equiv \Phi_0(z) + \phi(\mathbf{r}, t)$  — поля гидродинамического давления в жидкости и электростатического (в предположении, что гидродинамические скорости много меньше скорости распространения электромагнитного сигнала) потенциала вне жидкости соответственно,  $P_E(\mathbf{r}, t)$  и  $P_\gamma(\mathbf{r}, t)$  — давления электрического поля и сил поверхностного натяжения на свободную поверхность жидкости.

Полагая безразмерную амплитуду волны много меньшей единицы, линеаризуем по ней задачу, и сносая граничные условия на свободной поверхности  $F(x, z, t) = 0$  на невозмущенную поверхность жидкости  $z = 0$ , получим

$$\frac{\partial \mathbf{U}}{\partial t} = -\nabla P + \nu \Delta \mathbf{U} - \nabla \mathbf{z}; \quad (1)$$

$$\nabla \cdot \mathbf{U} = 0; \quad \Delta \phi = 0; \quad (2)$$

$$z = 0: \quad -\frac{\partial \xi}{\partial t} + U_z = 0; \quad \frac{\partial U_z}{\partial x} + \frac{\partial U_x}{\partial z} = 0; \quad \phi = -\frac{\partial \Phi_0}{\partial z} \xi; \quad (3)$$

$$-p(\xi) + 2\nu \frac{\partial U_z}{\partial z} - p_E(\xi) + p_\gamma(\xi) = 0; \quad (4)$$

$$z = -d: \quad \mathbf{U} = 0; \quad (5)$$

$$z \rightarrow \infty: \quad \nabla \Phi \rightarrow -E_0 \mathbf{e}_z; \quad (6)$$

$$t = 0: \quad \xi(x, t) = \xi_0 \exp(ikx). \quad (7)$$

Здесь  $p(\xi)$ ,  $p_E(\xi)$  и  $p_\gamma(\xi)$  — линейные по  $\xi$  поправки к гидродинамическому давлению, давлению электрического поля и давлению капиллярных сил, вызванные волновым движением поверхности  $\xi(x, t)$ ;  $\phi(\mathbf{r}, t)$  — линейная

по  $\xi$  поправка к потенциалу электростатического поля, вызванная волновым движением свободной поверхности  $\xi(x, t)$ .

## 2. Скаляризация задачи

Двумерность задачи — возмущение формы поверхности  $\xi(x, t)$ , поля скоростей  $\mathbf{U}(\mathbf{r}, t)$ , давления  $P(\mathbf{r}, t)$  и электростатического поля  $\phi(\mathbf{r}, t)$  считаем не зависящими от координаты  $y$  — позволяет провести ее скаляризацию на основе теоремы Гельмгольца введением потенциала поля скоростей  $\varphi(\mathbf{r}, t)$  и функции тока  $\psi(\mathbf{r}, t)$

$$\mathbf{U}(\mathbf{r}, t) = \hat{\mathbf{N}}_1 \varphi(\mathbf{r}, t) + \hat{\mathbf{N}}_2 \psi(\mathbf{r}, t), \quad \hat{\mathbf{N}}_1 \equiv \nabla, \quad \hat{\mathbf{N}}_2 \equiv \nabla \cdot \mathbf{n}_y, \quad (8)$$

где  $\mathbf{n}_y$  — орт оси декартовой координаты  $y$ ;  $\hat{\mathbf{N}}_1$  и  $\hat{\mathbf{N}}_2$  — векторные дифференциальные операторы, удовлетворяющие соотношениям ортогональности и условиям коммутативности с оператором Лапласа [16]. Эрмитовый оператор  $\hat{\mathbf{N}}_1$  выделяет потенциальную часть движения, а антиэрмитовый  $\hat{\mathbf{N}}_2$  — вихревую.

Подставив разложение (8) в уравнения (1), (2) и полагая, что собственные значения операторов  $\hat{\mathbf{N}}_1 \cdot \hat{\mathbf{N}}_2$  и  $\hat{\mathbf{N}}_2 \cdot \hat{\mathbf{N}}_1$  отличны от нуля, получим систему скалярных уравнений

$$\frac{\partial \psi}{\partial t} - \nu \Delta \psi = 0; \quad \Delta \phi = 0; \quad P(\mathbf{r}, t) = -\frac{\partial \varphi}{\partial t} - z + P_0,$$

где  $P_0$  постоянное давление в среде.

Подставим теперь (8) в гидродинамические граничные условия на свободной поверхности жидкости (3), (4) и преобразуем граничные условия для векторного поля скоростей  $\mathbf{U}(\mathbf{r}, t)$  в граничные условия для скалярных функций  $\varphi(\mathbf{r}, t)$  и  $\psi(\mathbf{r}, t)$

$$z = 0: \quad \frac{\partial \xi}{\partial t} = \frac{\partial \varphi}{\partial z} + \frac{\partial \psi}{\partial x}; \quad 2 \frac{\partial^2 \varphi}{\partial x \partial z} + \frac{\partial^2 \psi}{\partial x^2} - \frac{\partial^2 \psi}{\partial z^2} = 0;$$

$$\phi = -\frac{\partial \Phi_0}{\partial z} \xi; \quad (9)$$

$$\frac{\partial \phi}{\partial t} + \xi + 2\nu \left( \frac{\partial^2 \phi}{\partial z^2} + \frac{\partial^2 \psi}{\partial x \partial z} \right) - p_E(\xi) + p_\gamma(\xi) = 0. \quad (10)$$

Выражения для добавок —  $p_\gamma(\xi)$  — к давлению сил поверхностного натяжения и  $p_E(\xi)$  — к давлению электрических сил — в линейном по  $\xi$  приближении записываются в виде [17]

$$p_\gamma(\xi) = -\frac{\partial^2 \xi}{\partial x^2}; \quad p_E(\xi) = \frac{1}{4\pi} \left( \frac{\partial \Phi_0}{\partial z} \frac{\partial \phi}{\partial z} \right).$$

Условие на дне (5) при скаляризации преобразуется в следующие выражения

$$z = -d: \quad \frac{\partial \phi}{\partial x} - \frac{\partial \psi}{\partial z} = 0; \quad \frac{\partial \phi}{\partial z} + \frac{\partial \psi}{\partial x} = 0. \quad (11)$$

Таким образом, нами получена система гидродинамических уравнений и граничных условий к ним в скаляризованном виде.

### 3. Вывод дисперсионного уравнения

Периодические по  $x$  ограниченные при  $z = -d$  (условие (11)) и  $z \rightarrow \infty$  (условие (6)) решения всей задачи естественно искать в виде [5]

$$\xi(x, t) = a \exp(st - ikx); \quad (12)$$

$$\phi(x, z, t) = (B_1 \operatorname{sh}(kz) + B_2 \operatorname{ch}(kz)) \exp(st - ikx); \quad (13)$$

$$\psi(x, z, t) = (B_3 \operatorname{sh}(qz) + B_4 \operatorname{ch}(qz)) \exp(st - ikx); \quad (14)$$

$$\begin{aligned} \phi(x, z, t) &= a E_0 \exp(-kz) \exp(st - ikx), \\ q &= \sqrt{k^2 + (s/\nu)}, \end{aligned} \quad (15)$$

где  $B_1, B_2, B_3, B_4, s$  в общем случае — комплексные величины.

Подставим (13), (14) в условия на дне (11) и выразим неизвестные коэффициенты  $B_3, B_4$  через коэффициенты  $B_1, B_2$

$$\begin{aligned} B_3 &= \frac{i}{q} (-\operatorname{ch}(kd) (kB_2 \operatorname{ch}(qd) + qB_1 \operatorname{sh}(qd)) \\ &\quad + \operatorname{sh}(kd) (kB_1 \operatorname{ch}(qd) + qB_2 \operatorname{sh}(qd))), \\ B_4 &= \frac{i}{q} (\operatorname{sh}(kd) (qB_2 \operatorname{ch}(qd) + kB_1 \operatorname{sh}(qd)) \\ &\quad - \operatorname{ch}(kd) (qB_1 \operatorname{ch}(qd) + kB_2 \operatorname{sh}(qd))). \end{aligned}$$

После подстановки решений (12)–(15) в скаляризованные граничные условия на невозмущенной поверхности жидкости (9), (10) приходим к однородной системе линейных алгебраических уравнений относительно неизвестных коэффициентов  $B_1, B_2, a$

$$\begin{aligned} &(-kq + kq \operatorname{ch}(kd) \operatorname{ch}(qd) - k^2 \operatorname{sh}(kd) \operatorname{sh}(qd)) B_1 \\ &+ (-kq \operatorname{ch}(qd) \operatorname{sh}(kd) + k^2 \operatorname{ch}(kd) \operatorname{sh}(qd)) B_2 + qsa = 0; \\ &-q(k^2 + q^2) \operatorname{ch}(kd) \operatorname{ch}(qd) \\ &+ k(2kq + (k^2 + q^2) \operatorname{sh}(kd) \operatorname{sh}(qd)) B_1 \\ &+ (k^2 + q^2)(q \operatorname{ch}(qd) \operatorname{sh}(kd) \\ &- k \operatorname{ch}(kd) \operatorname{sh}(qd)) B_2 = 0; \\ &(2vk^2 \operatorname{ch}(qd) \operatorname{sh}(kd) - 2vkq \operatorname{ch}(kd) \operatorname{sh}(qd)) B_1 \\ &+ ((s + 2vk^2) - 2vk^2 \operatorname{ch}(kd) \operatorname{ch}(qd) \\ &+ 2vkq \operatorname{sh}(kd) \operatorname{sh}(qd)) B_2 + \omega_0^2(k) k^{-1} a = 0, \\ &\omega_0^2(k) \equiv k(k^2 - Wk + 1), \quad W \equiv E_0^2/4\pi. \end{aligned}$$

Параметр  $\omega_0^2$  имеет смысл квадрата частоты капиллярно-гравитационных волн в идеальной несжимаемой однородно поверхностно заряженной электропроводной бесконечно глубокой жидкости [17–19].

Безразмерный параметр  $W$ , называемый параметром Тонкса–Френкеля, характеризует устойчивость плоской равновесной в поле сил тяжести и поле капиллярных сил однородно заряженной свободной поверхности электропроводной жидкости по отношению к отрицательному давлению электрического поля [20]. Критические условия реализации неустойчивости имеют вид  $W = k + k^{-1}$ ,  $k = 1$  и не зависят от вязкости жидкости [5, 20, 21]. Когда заряд на свободной поверхности жидкости настолько велик, что  $W = 2$ , волна с  $k = 1$  претерпевает неустойчивость, и на поверхности жидкости появляются эмиссионные выступы, называемые конусами Тейлора, с вершин которых начинается сброс избыточного заряда путем эмиссии высокодисперсных сильно заряженных струй жидкости и капелек [22, 23]. Таким образом, поверхностная плотность заряда, при которой  $W = 2$ , является максимально возможной.

Данная система имеет нетривиальное решение тогда, и только тогда, когда ее определитель равен нулю, что и дает дисперсионное уравнение относительно  $q \equiv \sqrt{k^2 + (s + \nu)}$

$$\begin{aligned} &4qk^2(k^2 + q^2) + (k^2 + q^2)^2 (k \operatorname{sh}(kd) \operatorname{sh}(qd) \\ &- q \operatorname{ch}(kd) \operatorname{ch}(qd)) + 4qk^3 (q \operatorname{sh}(kd) \operatorname{sh}(qd) \\ &- k \operatorname{ch}(kd) \operatorname{ch}(qd)) - \omega_0^2(k) \nu^2 (q \operatorname{sh}(kd) \operatorname{ch}(qd) \\ &- k \operatorname{ch}(kd) \operatorname{sh}(qd)) = 0. \end{aligned} \quad (16)$$

При  $\nu \ll 1$ , когда  $q \gg k$ , дисперсионное уравнение (16) в линейном приближении по безразмерной вязкости  $\nu$  может быть переписано в существенно более простом виде относительно комплексной частоты  $s$ :

$$s^2 + 4\nu k^2 s + \omega_0^2(k) \operatorname{th}(kd) = 0, \quad (17)$$

а его решения в том же приближении легко выписываются

$$\begin{aligned} s^{(1,2)} &= \eta \pm i\omega \\ &\equiv -2\nu k^2 \pm \sqrt{(2\nu k^2)^2 - \omega_0^2(k) \operatorname{th}(kd)}. \end{aligned} \quad (18)$$

Здесь  $\omega$  — частота капиллярно-гравитационной волны в заряженном слое вязкой электропроводной жидкости конечной толщины.

### 4. Запись решений задачи

Найдя решения дисперсионного уравнения, можно записать решение всей задачи, удовлетворяющее начальному условию (7):

$$\xi(x, t) = \xi_0 \exp(st - ikx) + \text{к.с.}; \quad (19)$$

$$\begin{aligned} \phi(x, z, t) &= \xi_0 (B_1 \operatorname{sh}(kz) + B_2 \operatorname{ch}(kz)) \exp(st - ikx) + \text{к.с.}; \\ B_1 &= (s + 2\nu k^2)/k; \end{aligned}$$

$$B_2 = \frac{((s + 2vk^2)(k\text{sh}(kd)\text{sh}(qd) - q\text{ch}(kd)\text{ch}(qd)) + 2vk^2q)}{k(k\text{ch}(kd)\text{sh}(qd) - q\text{sh}(kd)\text{ch}(qd))};$$

$$\psi(x, z, t) = \xi_0 (B_3\text{sh}(qz) + B_4\text{ch}(qz)) \exp(st - ikx) + \text{к.с.};$$

$$B_3 = i \frac{((s + 2vk^2) - 2vk(k\text{ch}(kd)\text{ch}(qd) - q\text{sh}(kd)\text{sh}(qd)))}{(k\text{ch}(kd)\text{sh}(qd) - q\text{sh}(kd)\text{ch}(qd))};$$

$$B_4 = -2ivk;$$

$$\phi(x, z, t) = \xi_0 E_0 \exp(-kz) \cos(st - ikx) + \text{к.с.}$$

Аббревиатура к.с. означает „комплексно сопряженные“ слагаемые.

Выпишем теперь компоненты вектора  $\mathbf{U}(x, z, t)$  — поля скоростей течения жидкости, связанного с волной (19)

$$U_x(x, z, t) = \frac{\partial \phi}{\partial x} - \frac{\partial \psi}{\partial z} = -\xi_0 i \left( kB_1 (\text{sh}(kz) + \text{sh}(kd)\text{ch}[q(z+d)]) + kB_2 (\text{ch}(kz) - \text{ch}(kd)\text{ch}[q(z+d)]) + q(B_2\text{sh}(kd) - B_1\text{ch}(kd))\text{sh}[q(z+d)] \right) \times \exp(st - ikx) + \text{к.с.}, \quad (20)$$

$$U_z(x, z, t) = \frac{\partial \phi}{\partial z} + \frac{\partial \psi}{\partial x} = \xi_0 k q^{-1} \left( qB_1 (\text{ch}(kz) - \text{ch}(kd)\text{ch}[q(z+d)]) + qB_2 (\text{sh}(kz) + \text{sh}(kd)\text{ch}[q(z+d)]) - k(B_2\text{ch}(kd) - B_1\text{sh}(kd))\text{sh}[q(z+d)] \right) \times \exp(st - ikx) + \text{к.с.} \quad (21)$$

Видно, что при  $z = -d$  обе компоненты поля скоростей обращаются в нуль, как и должно быть для вязкой жидкости. При предельном переходе  $d \rightarrow \infty$  выражения для потенциала поля скоростей, функции тока и компонент поля скоростей превращаются в соответствующие решения, для бесконечно глубокой вязкой жидкости с однородно заряженной свободной поверхностью [18].

Интересно отметить, что математические процедуры аналитического расчета волнового движения в бесконечно глубокой вязкой жидкости [18,19] и в слое вязкой жидкости конечной глубины заметно различаются. Так, для бесконечно глубокой жидкости можно сначала найти чисто потенциальную часть решения и лишь потом вводить функцию тока и исследовать влияние вязкой диссипации на закономерности волнового движения, как это проделано в [19]. Для случая слоя вязкой жидкости конечной глубины такое разделение невозможно из-за условия обращения в нуль полной скорости на твердом

дне (5) (в скаляризованном виде (8)), которому необходимо удовлетворять аддитивный комбинацией пространственных производных от потенциала поля скоростей и функции тока (8). В случае бесконечно глубокой жидкости пространственные производные от потенциала поля скоростей и от функции тока при  $z \rightarrow -\infty$  обращаются в нуль независимо друг от друга [19].

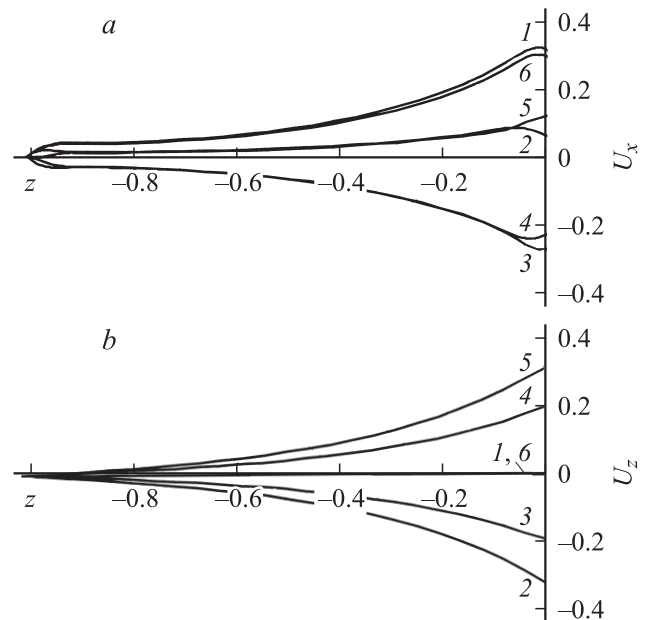
Имея в виду исследование вихревой компоненты поля скоростей, связанного с волновым движением в слое вязкой жидкости конечной толщины, выпишем выражение для ротора поля скоростей

$$\nabla \times \mathbf{U} = \{-\xi_0 i s v^{-1} q^{-1} \times (q(B_1\text{ch}(kd) - B_2\text{sh}(kd))\text{ch}[q(z+d)] + k(B_2\text{ch}(kd) - B_1\text{sh}(kd))\text{sh}[q(z+d)]) \times \exp(st - ikx) + \text{к.с.}\} \mathbf{n}_y. \quad (22)$$

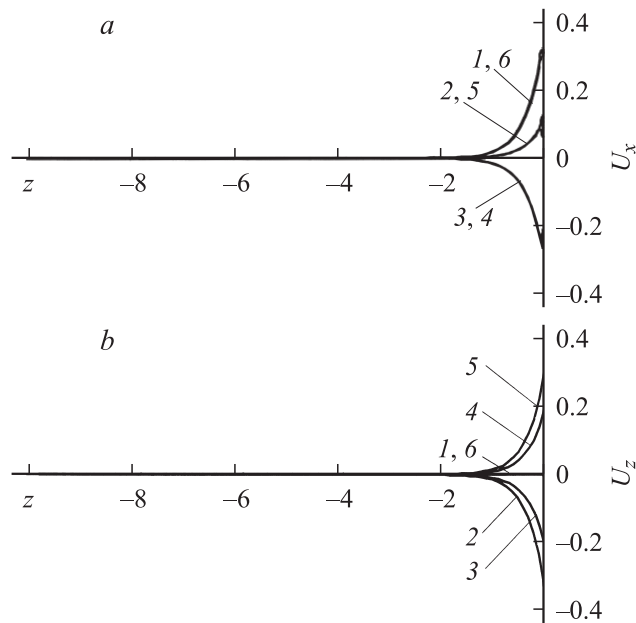
Несложно видеть, что вихри, связанные с волновым движением в анализируемой ситуации являются плоскими, реализуются в плоскости  $XOZ$ .

## 5. Анализ полученных результатов

На рис. 1 и 2 приведены зависимости амплитудных значений поля скоростей  $U_x(z, t)$  и  $U_z(z, t)$  от безразмерной глубины, рассчитанные в различные моменты времени для двух безразмерных значений толщины слоя



**Рис. 1.** Зависимости от глубины амплитудных значений проекций поля скоростей течения жидкости, рассчитанные при  $d = 1$ ,  $v = 0.02$ ,  $W = 1.99$ ,  $k = 3$  в различные моменты времени, измеренного в долях периода волны: 1 —  $t = 0$ ; 2 —  $T/5$ ; 3 —  $2T/5$ ; 4 —  $3T/5$ ; 5 —  $4T/5$ ; 6 —  $T$ .  $a$  —  $U_x = U_x(z, t)$ ;  $b$  —  $U_z = U_z(z, t)$ .



**Рис. 2.** Те же зависимости, что на рис. 1, рассчитанные при  $d = 10$ .

электропроводной маловязкой заряженной жидкости на твердом дне.

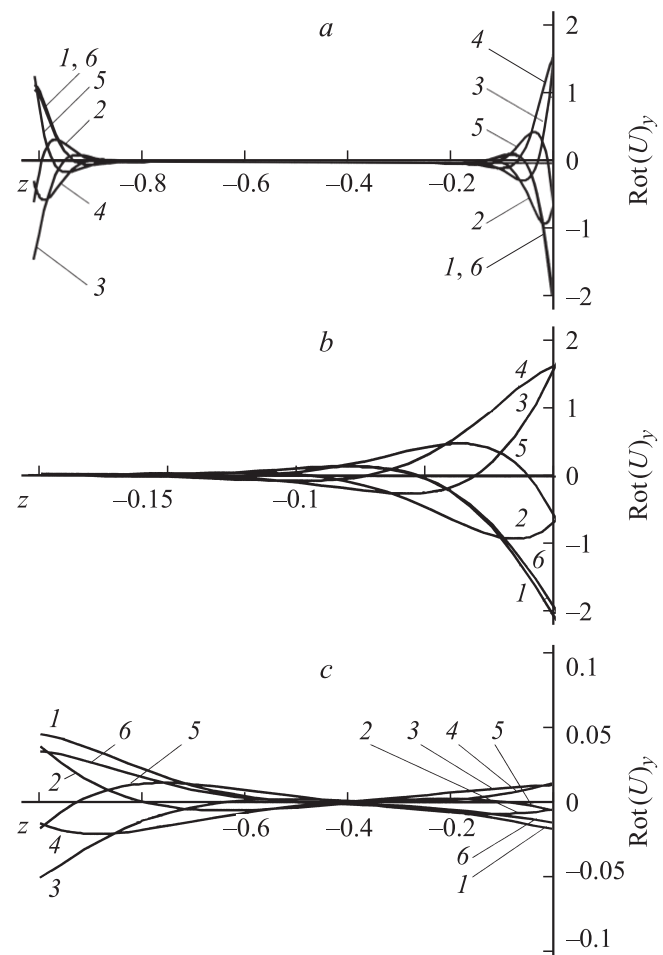
Из приведенных рисунков видно, что, когда толщина слоя жидкости сравнима с длиной волны, течение жидкости, связанное с волной, охватывает весь объем жидкости. Если толщина слоя много больше длины волны, то все течение, связанное с волной, сосредоточивается в приповерхностном слое жидкости глубиной порядка длины волны.

Отметим, что в принятом обезразмеривании характерным масштабом длины является капиллярная постоянная жидкости:  $\alpha \equiv \sqrt{\gamma/\rho g}$  (например, для воды —  $\alpha \approx 0.26$  cm). Это означает, что приведенные рисунки иллюстрируют характеристики поля скоростей течения жидкости, связанного с капиллярно-гравитационной волной с волновым числом  $k = 3$ , имеющей безразмерную длину  $\lambda \equiv 2\pi/k \approx 2.1$  (с размерным эквивалентом для воды  $\lambda \approx 0.55$  cm), бегущую в слое жидкости толщиной  $d = 1$  и  $10$  (для воды  $d = 0.26$  и  $2.6$  cm). Расчеты, проведенные при вязкости, в десять раз большей, при прочих равных условиях показывают, что все обсуждаемые зависимости сохраняют свой качественный вид, только более отчетливо проявляется вязкое затухание амплитуд и снижается амплитудное значение обеих компонент поля скоростей уже в начальный момент времени.

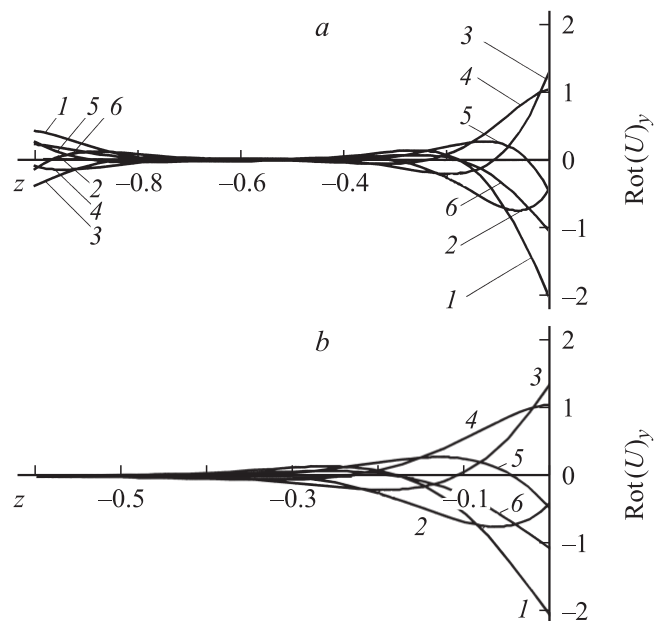
Графики, приведенные на рис. 1 и 2, рассчитаны при наличии поверхностного заряда, весьма близкого к предельному в смысле реализации неустойчивости Тонкса–Френкеля при  $W = 1.99$ . Расчеты показывают, что при уменьшении поверхностного заряда отмеченные общие характеристики поля скоростей сохраняются, но амплитудные значения обеих проекций поля скоростей

увеличиваются (при  $W = 0$ ) — примерно в полтора раза. Увеличение длины волны при прочих равных условиях приводит к снижению амплитудных значений компонент поля скоростей при сохранении остальных особенностей течения.

На рис. 3, *a, b* приведены зависимости амплитудных значений абсолютной величины ротора поля скоростей течения жидкости, от безразмерной глубины, рассчитанные в различные моменты времени для двух ( $d = 1$  и  $10$ ) безразмерных значений толщины слоя вязкой электропроводной заряженной жидкости на твердом дне. Для ситуации, рассмотренной на рис. 3, *b* (так же, как и на рис. 4, *b*), иллюстрируемая зависимость приведена лишь для приповерхностной части слоя, где амплитуда ротора максимальна. Наиболее физически значимым фактом в приведенных зависимостях является наличие вихревого движения на дне, порождаемого волной, бегущей по свободной поверхности жидкости в ситуации, когда толщина слоя сравнима с длиной волны.



**Рис. 3.** Зависимости от глубины амплитудных значений абсолютной величины ротора поля скоростей течения жидкости, рассчитанные при  $\nu = 0.002$ ,  $k = 3$ ,  $W = 1.99$  в различные моменты времени, измеренного в полях периода волны: 1 — 0; 2 —  $T/5$ ; 3 —  $2T/5$ ; 4 —  $3T/5$ ; 5 —  $4T/5$ ; 6 —  $T$ . *a* —  $d = 1$ ; *b* —  $10$ ; *c* —  $d = 1$ ;  $k = 1$ .



**Рис. 4.** Те же зависимости, что на рис. 3, *a, b*, рассчитанные при  $\nu = 0.02$ .

При малой вязкости ( $\nu = 0.002$ ) вихревое течение сосредоточено вблизи свободной поверхности жидкости, по которой бежит капиллярно-гравитационная волна, и вблизи дна. Толщина слоев, занятых вихревым движением, у свободной поверхности и вблизи дна примерно одинакова и составляет около двух десятых капиллярной постоянной жидкости. Увеличение вязкости в десять раз (см. рис. 4) приводит к незначительному снижению амплитуды вихревого движения и к значительному увеличению (примерно в два раза) толщины слоев жидкости у свободной поверхности и у дна, охваченных вихревым движением.

Когда при  $\nu = 0.002$  безразмерная толщина слоя увеличивается с  $d = 1$  до 10, волна с  $\lambda \approx 2$  вихревого движения на дне слоя уже не генерирует, и оно концентрируется в приповерхностном слое жидкости, толщина которого примерно равна двум десятым капиллярной постоянной. Как видно из рис. 3, *b*, на указанной глубине интенсивность вихревого движения убывает до нуля.

При уменьшении поверхностной плотности электрического заряда и при прочих равных условиях увеличиваются амплитудные значения ротора вихревого течения жидкости у свободной поверхности и у дна слоя, причем при  $W = 0$  амплитуда вихревого движения у дна становится равной амплитуде ротора вихревого движения у поверхности.

Увеличение длины волны приводит в случае сильно заряженной поверхности жидкости ( $W = 1.99$ ) к тому, что при  $\lambda = 2\pi$  вихревое движение заполняет весь объем жидкости, а амплитуда ротора вихревого движения у дна слоя становится в два раза больше амплитуды ротора вихревого движения у свободной поверхности

(см. рис. 3, *c*). При  $W = 0$  и прочих равных условиях для  $\lambda = 2\pi$  амплитуда ротора вихревого движения у дна слоя становится примерно на порядок величины больше амплитуды ротора вихревого движения у свободной поверхности.

Из рис. 4, *a* видно, что при указанной вязкости вихревое движение заполняет практически весь объем жидкости. Сравнение рис. 3, *b* и рис. 4, *b* показывает, что толщина слоя у свободной поверхности жидкости, в котором реализуется вихревое движение жидкости, связанное с волной, бегущей по поверхности, при указанном увеличении вязкости выросло примерно в три раза. Остальные характеристики течения, зависящие от вязкости, ведут себя предсказуемо: вязкое затухание увеличивается, амплитудные значения вихрей снижаются, но незначительно.

## Заключение

При распространении капиллярно-гравитационной волны по свободной поверхности слоя вязкой жидкости на твердом дне с толщиной слоя, меньшей длины волны, поле скоростей течения жидкости, связанного с волной, имеет сложную структуру: вихревое движение концентрируется в малой окрестности свободной поверхности и в малой окрестности твердого дна, потенциальное же течение заполняет весь объем жидкости. В ситуации, когда длина волны много больше толщины слоя жидкости, вихревое движение порождаемое поверхностной волной заполняет весь ее объем, причем интенсивность вихревого движения у твердого дна может значительно превышать таковую у свободной поверхности жидкости. Наличие электрического заряда на свободной поверхности электропроводной жидкости приводит к снижению интенсивности вихревого движения жидкости.

Работа выполнена в рамках тематического плана НИР вуза 2008 г. и при поддержке гранта РФФИ № 06-01-00066-а.

## Список литературы

- [1] Бояджиев Х., Бешков В. Массоперенос в движущихся пленках жидкости. М.: Мир, 1988. 137 с.
- [2] Курочкина С.А., Белоножко Д.Ф., Григорьев А.И. // Электронная обработка материалов. 2003. № 3. С. 26–36.
- [3] Белоножко Д.Ф., Григорьев А.И., Климов А.В. и др. // Электронная обработка материалов. 2004. № 4. С. 66–78.
- [4] Григорьев А.И., Климов А.В., Черникова С.В., Присяжнюк А.В. Параметрические и нелинейные волны на заряженной поверхности жидкости. Ярославль: Изд-во ЯрГУ, 2007. 170 с.
- [5] Григорьев А.И., Ширяева С.О., Коромыслов В.А., Белоножко Д.Ф. // ЖТФ. 1997. Т. 67. Вып. 8. С. 27–33.
- [6] Григорьев А.И., Коромыслов В.А., Ширяева С.О. // ЖТФ. 1997. Т. 67. Вып. 9. С. 8–13.
- [7] Белоножко Д.Ф., Григорьев А.И., Муничев М.И., Ширяева С.О. // Письма в ЖТФ. 1996. Т. 22. Вып. 10. С. 84–89.

- [8] *Gonzalez A., Castellanos A.* // Phys. Rev. E. 1994. Vol. 49. N 4. P. 2935–2940.
- [9] *Gonzalez A., Castellanos A.* // Phys. Rev. E. 1996. Vol. 53. N 4. P. 3573–3578.
- [10] *Жакин А.* // Изв. АН СССР. МЖГ. 1984. № 3. С. 94–102.
- [11] *Крылов В.С., Воротилин В.П., Левич В.Г.* // ТОХТ. 1969. Т. 3. № 4. С. 499–507.
- [12] *Белоножко Д.Ф., Григорьев А.И., Ширяева С.О.* // Письма в ЖТФ. 2002. Т. 28. Вып. 19. С. 1–9.
- [13] *Белоножко Д.Ф., Григорьев А.И.* // ЖТФ. 2003. Т. 73. Вып. 4. С. 28–37.
- [14] *Климов А.В., Белоножко Д.Ф., Григорьев А.И.* // ЖТФ. 2005. Т. 75. Вып. 10. С. 9–18.
- [15] *Климов А.В., Григорьев А.И.* // ЖТФ. 2008. Т. 78. Вып. 4. С. 10–18.
- [16] *Григорьев А.И.* // ЖТФ. 2007. Т. 77. Вып. 2. С. 31–40.
- [17] *Френкель Я.И.* // ЖЭТФ. 1936. Т. 6. № 4. С. 348–350.
- [18] *Белоножко Д.Ф., Григорьев А.И.* // ЖТФ. 2008. Т. 78. Вып. 3. С. 21–28.
- [19] *Левич В.Г.* Физико-химическая гидродинамика. М.: Физматгиз, 1959. 699 с.
- [20] *Френкель Я.И.* // ЖЭТФ. 1936. Т. 6. № 4. С. 348–350.
- [21] *Григорьев А.И., Григорьев О.А., Ширяева С.О.* // ЖТФ. 1992. Т. 62. Вып. 9. С. 12–21.
- [22] *Григорьев А.И., Ширяева С.О., Белоножко Д.Ф., Климов А.В.* // ЭОМ. 2004. № 4. С. 34–40.
- [23] *Григорьев А.И., Ширяева С.О., Белоножко Д.Ф., Климов А.В.* // ЖТФ. 2005. Т. 75. Вып. 2. С. 19–25.